

# Tema 1: Resolución numérica de ecuaciones y sistemas no lineales

## Métodos Numéricos II

Departamento de Matemática Aplicada  
Universidad de Granada



Curso 2024/25

## 1 Métodos de iteración funcional

- Métodos de iteración funcional
- Aceleración  $\Delta^2$  de Aitken
- Aceleración de Steffensen

## 2 Ecuaciones polinómicas

- Localización y separación de raíces
- El método de Newton-Raphson para ecuaciones polinómicas

## 3 Métodos de resolución para sistemas de ecuaciones no lineales

- Métodos de iteración funcional para sistemas
- El método de Newton-Raphson para sistemas

# Métodos de iteración funcional

Muchos métodos para resolver

$$f(x) = 0$$

consisten en transformar el problema en uno equivalente de la forma

$$x = g(x)$$

y de ahí construir el método

$$x_{n+1} = g(x_n)$$

con una semilla  $x_0$  adecuada.

Un valor  $s$  verificando  $s = g(s)$  se denomina **punto fijo de  $g$** .

# Métodos de iteración funcional

Por ejemplo, la ecuación  $x^3 + 9x + 9 = 0$  que tiene una única raíz real en el intervalo  $[-1, 0]$  se puede reescribir de muy diversas formas:

$$\begin{aligned}x = g_1(x) &= -\frac{x^3}{9} - 1, & x = g_2(x) &= -\frac{9}{x^2 + 9}, \\x = g_3(x) &= -\sqrt{-\frac{9}{x} - 9}, & x = g_4(x) &= \frac{2x^3 - 9}{3(x^2 + 3)}.\end{aligned}$$

$n$	$x = g_1(x)$	$x = g_2(x)$	$x = g_3(x)$	$x = g_4(x)$
0	-1	-1	-1	-1
1	-0.888889	-0.9	0	-0.916667
2	-0.921963	-0.917431	$\nexists$	-0.914909
3	-0.912924	-0.914478		-0.914908
4	-0.915460	-0.914981		-0.914908
5	-0.914754	-0.914895		-0.914908

# Métodos de iteración funcional

## Función contráctil

Una función  $g : [a, b] \rightarrow \mathbb{R}$  cumpliendo

$$|g(x) - g(y)| \leq L|x - y| \quad \forall x, y \in [a, b]$$

se dirá **lipschitziana**.

Esta condición se denomina **condición de Lipschitz** y  $L$  es la **constante de Lipschitz**.

En el caso  $L < 1$  la función  $g$  se dirá **contráctil**, **contractiva** o **contracción** y  $L$  la **constante de contractibilidad**.

# Métodos de iteración funcional

## Teorema del Punto Fijo

Sea  $g : [a, b] \rightarrow [a, b]$  contráctil con constante de contractibilidad  $L$ .  
Entonces:

- 1 Existe un único punto fijo  $s$  de  $g$  en  $[a, b]$ .
- 2 El método  $x_{n+1} = g(x_n)$  genera una sucesión convergente a  $s$   
 $\forall x_0 \in [a, b]$
- 3 Los errores  $e_n = x_n - s$  cumplen  $|e_n| \leq \frac{L^n}{1-L} |x_1 - x_0|$ ,  $n = 1, 2, \dots$

## Demostración:

- 1 La existencia de  $s$  se prueba aplicando Bolzano a  $f(x) = g(x) - x$ . La unicidad se deduce de la condición de contractibilidad pues si hubiera dos  $s_1$  y  $s_2$ , entonces

$$|s_1 - s_2| = |g(s_1) - g(s_2)| \leq L|s_1 - s_2| < |s_1 - s_2|$$

# Métodos de iteración funcional

## Demostración (continuación):

- ② Vemos que  $\forall x_0 \in [a, b]$  la sucesión  $\{x_n\}_{n \geq 0} \subset [a, b]$  converge a  $s$ :

$$|x_n - s| = |g(x_{n-1}) - g(s)| \leq L|x_{n-1} - s| \leq \cdots \leq L^n|x_0 - s|.$$

- ③ Como  $|x_0 - s| \leq |x_1 - x_0| + |x_1 - s| \leq |x_1 - x_0| + L|x_0 - s|$ ,  
entonces

$$|x_0 - s| \leq \frac{1}{1-L}|x_1 - x_0| \text{ y por tanto } |x_n - s| \leq \frac{L^n}{1-L}|x_1 - x_0|.$$

## Observaciones:

- Para funciones derivables, el teorema sigue siendo válido si se sustituye la contractibilidad por  $|g'(x)| \leq L < 1 \forall x \in [a, b]$ .
- Si  $g : \mathbb{R} \rightarrow \mathbb{R}$  cumple la condición anterior, el teorema se sigue cumpliendo.

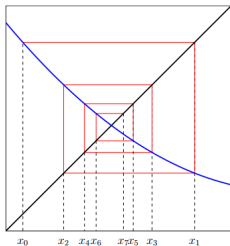
# Métodos de iteración funcional

## Teorema de convergencia local

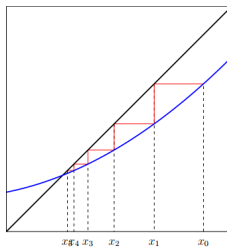
Sea  $g \in \mathcal{C}^1(I)$  siendo  $I$  un entorno abierto de un punto fijo  $s$  de  $g$  tal que  $|g'(s)| < 1$ . Entonces existe un subintervalo  $I_\varepsilon \subseteq I$  en el que el método  $x_{n+1} = g(x_n)$  converge a  $s \ \forall x_0 \in I_\varepsilon$ .



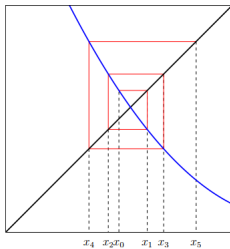
# Interpretación geométrica:



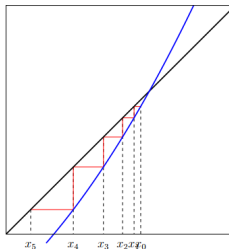
Convergencia en espiral



Convergencia monótona o en escalera



Divergencia en espiral



Divergencia monótona o en escalera

## Ejemplo

Métodos de iteración funcional aplicados a la ecuación  $e^x + x - 3 = 0$  con  $x_0 = 1$ ,

$$g_1(x) = 3 - e^x, \quad g_2(x) = \ln(3 - x), \quad g_3(x) = \frac{xe^x - e^x + 3}{e^x + 1}.$$

$n$	$g_1$	$g_2$	$g_3$
0	1.000000	1.000000	1.000000
1	0.281718	0.693147	0.806824
2	1.674595	0.835884	0.792135
3	-2.336633	0.772012	0.792060
4	2.903347	0.801099	0.792060
5	-15.235084	0.787958	0.792060
6	3.000000	0.793916	0.792060
7	-17.085532	0.791219	0.792060
8	3.000000	0.792441	0.792060
9	-17.085536	0.791887	0.792060

## Iteración funcional: error y orden de convergencia

En la práctica no es fácil obtener la constante de contractibilidad  $L$ .

Si  $g$  es suficientemente derivable podríamos escribir

$$x_{n+1} - s = g(x_n) - g(s) = g'(\xi_n)(x_n - s)$$

con  $\xi_n$  comprendido entre  $x_n$  y  $s$ . De esta forma,

$$e_{n+1} = g'(\xi_n)e_n,$$

y por tanto

$$\lim_{n \rightarrow \infty} \frac{|e_{n+1}|}{|e_n|} = |g'(s)|.$$

Si  $g'(s) \neq 0$  se tendrá convergencia local lineal con constante  $C = |g'(s)|$ .

De lo contrario, si  $g \in \mathcal{C}^2(I)$  y  $g''(s) \neq 0$ , por un razonamiento similar

$$e_{n+1} = \frac{1}{2}g''(\xi_n)e_n^2 \quad \Rightarrow \quad \lim_{n \rightarrow \infty} \frac{|e_{n+1}|}{|e_n|^2} = \frac{1}{2}|g''(s)|$$

con lo que la convergencia sería localmente cuadrática con constante asintótica del error  $C = \frac{1}{2}|g''(s)|$ .

# Iteración funcional: error y orden de convergencia

De forma más general tenemos el siguiente

## Teorema: Orden de convergencia

Sea  $s = g(s)$  con  $g \in \mathcal{C}^p(I)$  verificando

$$g'(s) = \cdots = g^{(p-1)}(s) = 0 \text{ y } g^{(p)}(s) \neq 0.$$

Entonces para  $x_0$  suficientemente próximo a  $s$  el método iterativo  $x_{n+1} = g(x_n)$  converge a  $s$  con orden de convergencia  $p$ .

Además, la constante asintótica del error es

$$C = \frac{1}{p!} |g^{(p)}(s)|.$$

## Ejemplo

Volvemos al ejemplo anterior en el que veíamos tres métodos de iteración funcional aplicados a la ecuación  $e^x + x - 3 = 0$  con  $x_0 = 1$ . Sabemos que tiene una raíz en el intervalo  $[0, 1]$  y que:

$$g_1(x) = 3 - e^x, \quad g_2(x) = \ln(3 - x), \quad g_3(x) = \frac{xe^x - e^x + 3}{e^x + 1}.$$

Observamos que

$$g'_1(x) = -e^x, \quad g'_2(x) = \frac{-1}{3 - x}, \quad g'_3(x) = \frac{(x + e^x - 3)e^x}{(e^x + 1)^2}$$

Se cumple que:

$$|g'_1(s)| > 1, \quad |g'_2(s)| < 1, \quad g'_3(s) = 0$$

## Aceleración $\Delta^2$ de Aitken

Se trata de un método que permite acelerar la convergencia de una sucesión que converge linealmente.

A partir de la sucesión  $\{x_n\}_{n \geq 0}$  se construye la sucesión acelerada  $\{\hat{x}_n\}_{n \geq 0}$  como

$$\hat{x}_n = x_n - \frac{(\Delta x_n)^2}{\Delta^2 x_n} = x_n - \frac{(x_{n+1} - x_n)^2}{x_{n+2} - 2x_{n+1} + x_n} = \frac{x_{n+2}x_n - x_{n+1}^2}{x_{n+2} + x_n - 2x_{n+1}}$$

siendo  $\Delta$  el operador **diferencia progresiva**

$$\Delta x_n = x_{n+1} - x_n \quad \Delta^2 x_n = \Delta(\Delta x_n) = x_{n+2} - 2x_{n+1} + x_n.$$

En algunos textos (Atkinson, Ralston, Wikipedia,...) se presenta la formulación del método  $\Delta^2$  de Aitken como

$$\hat{x}_{n+2} = x_{n+2} - \frac{(\Delta x_{n+1})^2}{\Delta^2 x_n}$$

que es equivalente, salvo por la numeración de subíndices de la sucesión acelerada. Aquí usaremos la primera (Gasca, Burden).

# Aceleración $\Delta^2$ de Aitken

## Teorema: aceleración de Aitken

Sea la sucesión  $\{x_n\}_{n \geq 0}$  convergente a  $s$  al menos linealmente. Entonces la sucesión acelerada  $\hat{x}_n = x_n - \frac{(\Delta x_n)^2}{\Delta^2 x_n}$  converge a  $s$  más rápidamente en el sentido  $\lim_{n \rightarrow \infty} \frac{\hat{e}_n}{e_n} = 0$  siendo  $\hat{e}_n = \hat{x}_n - s$  y  $e_n = x_n - s$ .

## Demostración:

Supongamos  $\frac{e_{n+1}}{e_n} = \lambda_n$  con  $\lim_{n \rightarrow \infty} |\lambda_n| = C < 1$ . Como  $\Delta e_n = \Delta x_n$ ,

$$\begin{aligned}\hat{e}_n &= e_n - \frac{(\Delta e_n)^2}{\Delta^2 e_n} = e_n - \frac{e_n^2(\lambda_n - 1)^2}{e_n(\lambda_{n+1}\lambda_n - 2\lambda_n + 1)} \\ &= e_n \frac{\lambda_{n+1}\lambda_n - 2\lambda_n + 1 - \lambda_n^2 + 2\lambda_n - 1}{\lambda_{n+1}\lambda_n - 2\lambda_n + 1} = e_n \frac{\lambda_n \Delta \lambda_n}{\lambda_{n+1}\lambda_n - 2\lambda_n + 1},\end{aligned}$$

luego  $\lim_{n \rightarrow \infty} \frac{\hat{e}_n}{e_n} = 0$ .

## Aceleración de Steffensen

Cuando la sucesión  $\{x_n\}_{n \geq 0}$  convergente a  $s$  proviene de un método de iteración funcional  $x_{n+1} = g(x_n)$ , se puede combinar éste con el procedimiento de aceleración de Aitken para aumentar la velocidad de convergencia.

El procedimiento de aceleración de Steffensen que parte de  $x_0$  consiste en usar  $g$  hasta tener tres términos, acelerar mediante Aitken y volver a generar tres términos mediante  $g$  para volver a acelerar.

Más concretamente:

$$\left. \begin{array}{l} x_0 \\ x_1 = g(x_0) \\ x_2 = g(x_1) \end{array} \right\} \longrightarrow x'_0 = x_0 - \frac{(\Delta x_0)^2}{\Delta^2 x_0}$$

$$\left. \begin{array}{l} x'_0 \\ x'_1 = g(x'_0) \\ x'_2 = g(x'_1) \end{array} \right\} \longrightarrow x''_0 = x'_0 - \frac{(\Delta x'_0)^2}{\Delta^2 x'_0}$$

y así sucesivamente.

La sucesión  $\{x_0^{(n)}\}$  convergerá a  $s$  aún más rápidamente que la de Aitken.



## Aceleración de Steffensen

Aceleraciones de Aitken y Steffensen aplicadas a la función  $g(x) = e^{-x}$  con  $x_0 = 0.5$ .

ACELERACIONES DE AITKEN Y STEFFENSEN		
$g$	Aitken	Steffensen
0.5000000000		
0.6065306597		
0.5452392119	0.5676238764	0.5676238764
0.5797030949	0.5672989893	
0.5600646279	0.5671931424	
0.5711721490	0.5671593645	0.5671433141
0.5648629470	0.5671484533	
0.5684380476	0.5671449524	
0.5664094527	0.5671438247	0.5671432904
0.5675596343	0.5671434623	
0.5669072129	0.5671433457	
0.5672771960	0.5671433082	0.5671432904

# Ecuaciones polinómicas

Se pretende resolver  $P(x) = 0$  siendo  $P(x)$  un polinomio en  $x$ .

Evidentemente son válidos todos los métodos de aplicación general para ecuaciones (Bisección, Newton-Raphson, Secante, etc.).

El tratamiento específico de una ecuación polinómica pasa por **tres etapas**:

- 1 Determinación del número de raíces reales.
- 2 Localización y separación en intervalos disjuntos de las raíces reales.
- 3 Estimación precisa de cada raíz mediante un método numérico adecuado.

Las dos primeras etapas se abordan con la **teoría de Sturm** (véase Gasca, Cálculo Numérico, UNED, 1996).

Para la tercera es muy adecuado adaptar el **método de Newton-Raphson**.

# Ecuaciones polinómicas: localización de raíces

## Teorema (acotación de raíces)

Sea  $P(x) = a_k x^k + a_{k-1} x^{k-1} + \cdots + a_1 x + a_0$ . Toda raíz  $s$  de  $P$  verifica:

$$|s| \leq 1 + \alpha \quad \text{donde} \quad \alpha = \max_{0 \leq i < k} \left| \frac{a_i}{a_k} \right|.$$

## Demostración:

$$P(s) = 0 \Rightarrow s^k = - \sum_{i=0}^{k-1} \frac{a_i}{a_k} s^i \Rightarrow |s|^k \leq \alpha \sum_{i=0}^{k-1} |s|^i = \alpha \frac{|s|^k - 1}{|s| - 1}.$$

Si fuese  $|s| > \alpha + 1$  sería  $\alpha < |s| - 1$  y entonces  $|s|^k < |s|^k - 1$ , absurdo.

# Ecuaciones polinómicas: sucesión de Sturm

## Definición

$\{f_0, f_1, \dots, f_m\} \subset \mathcal{C}[a, b]$  es una **sucesión de Sturm** en  $[a, b]$  si  $\forall x \in [a, b]$ :

- ❶  $f_0 \in \mathcal{C}^1[a, b]$ ,
- ❷  $f_0(x) = 0 \Rightarrow f_0'(x)f_1(x) > 0$ ,
- ❸  $f_j(x) = 0 \Rightarrow f_{j-1}(x)f_{j+1}(x) < 0 \quad j = 1, \dots, m-1$ .
- ❹  $f_m(x) \neq 0$ .

# Ecuaciones polinómicas: sucesión de Sturm

## Teorema de Sturm

Si  $\{f_0, f_1, \dots, f_m\}$  es una sucesión de Sturm en  $[a, b]$ , entonces la cantidad de raíces reales que  $f_0$  tiene en  $[a, b]$  es la diferencia entre el número de cambios de signo que hay en la secuencia  $\{f_0(a), f_1(a), \dots, f_m(a)\}$  respecto del que hay en la secuencia  $\{f_0(b), f_1(b), \dots, f_m(b)\}$

## Demostración:

Supongamos que  $x$  recorre el intervalo desde  $a$  hasta  $b$ .

Al atravesar  $x$  un cero de  $f_j$ ,  $j = 1, \dots, m-1$  no se altera el número de cambios de signo en la secuencia  $\{f_0(x), f_1(x), \dots, f_m(x)\}$ .

Por otro lado, al atravesar  $x$  un cero de  $f_0$  hay dos casos posibles:

- ① pasar de  $-$  a  $+$  con lo que  $f_1 > 0$ , o
- ② pasar de  $+$  a  $-$  con lo que  $f_1 < 0$ .

En cualquier caso se pierde un cambio de signo en la secuencia.

# Ecuaciones polinómicas: sucesión de Sturm

## Procedimiento de obtención de una sucesión de Sturm para un polinomio

Sea  $P(x)$  un polinomio.

- ①  $f_0 = P, f_1 = P'$ .
- ②  $f_{j-2} = q_{j-1}f_{j-1} - f_j, j = 2, \dots, m$   
(algoritmo de Euclides de división, con el resto cambiado de signo, es decir,  $f_j$  es el resto cambiado de signo de la división de  $f_{j-2}$  entre  $f_{j-1}$ ).
- ③  $f_m =$  último resto no nulo cambiado de signo.
- ④ Si  $f_m$  es constante, entonces  $\{f_0, \dots, f_m\}$  es una sucesión de Sturm  $\forall [a, b]$ ; de lo contrario lo es  $\left\{ \frac{f_0}{f_m}, \frac{f_1}{f_m}, \dots, \frac{f_m}{f_m} \right\}$ .

Ejemplo:  $P(x) = 2x^5 - x^4 - 4x^3 + 2x^2 - 6x + 3$

Partimos de

$$\begin{aligned}f_0 &= P = 2x^5 - x^4 - 4x^3 + 2x^2 - 6x + 3 \\f_1 &= P' = 10x^4 - 4x^3 - 12x^2 + 4x - 6.\end{aligned}$$

Para calcular  $f_2$ , dividimos  $f_0$  entre  $f_1$  y nos queda cociente  $\frac{1}{5}x - \frac{1}{50}$  y de resto  $-\frac{42}{25}x^3 + \frac{24}{25}x^2 - \frac{118}{25}x + \frac{72}{25}$ . Cambiamos el signo al resto y esa podría ser  $f_2$ . Multiplicamos por  $25/2$  para simplificar. Entonces:

$$f_2 = 21x^3 - 12x^2 + 59x - 36$$

Para calcular  $f_3$ , dividimos  $f_1$  entre  $f_2$  y nos queda cociente  $\frac{10}{21}x + \frac{12}{147}$  y de resto  $-\frac{5750}{147}x^2 + \frac{800}{49}x - \frac{150}{49}$ . Cambiamos el signo al resto y esa podría ser  $f_3$ . Multiplicamos por  $147/50$  para simplificar. Entonces:

$$f_3 = 115x^2 - 48x + 9$$

## Ejemplo (continuación)

Para calcular  $f_4$ , dividimos  $f_2$  entre  $f_3$  y nos queda cociente  $\frac{21}{115}x - \frac{372}{13225}$  y de resto  $-\frac{740684}{13225}x - \frac{472752}{13225}$ . Cambiamos el signo al resto y esa podría ser  $f_4$ . Multiplicamos por  $13225/196$  para simplificar. Entonces:

$$f_4 = 3779x - 2412$$

Por último, dividimos  $f_3$  entre  $f_4$  y nos queda cociente  $\frac{115}{3779}x - \frac{95988}{14280841}$  y de resto  $\frac{360050625}{14280841}$ . Podemos entonces tomar  $f_5 = -1$

La sucesión de Sturm entonces sería:

$$\begin{aligned}f_0 &= 2x^5 - x^4 - 4x^3 + 2x^2 - 6x + 3 \\f_1 &= 10x^4 - 4x^3 - 12x^2 + 4x - 6 \\f_2 &= 21x^3 - 12x^2 + 59x - 36 \\f_3 &= 115x^2 - 48x + 9 \\f_4 &= -185171x + 118188 \\f_5 &= -1\end{aligned}$$



## Ejemplo (continuación)

Para conocer el número de raíces reales de

$P = 2x^5 - x^4 - 4x^3 + 2x^2 - 6x + 3$  utilizando la sucesión de Sturm, primero utilizamos que todas las raíces cumplen:

$$|s| \leq 1 + \alpha \quad \text{donde} \quad \alpha = \max_{0 \leq i < k} \left| \frac{a_i}{a_k} \right|.$$

En este caso  $\alpha = \max\{1/2, 4/2, 2/2, 6/2, 3/2\} = 3$  por lo que las raíces están en el intervalo  $[-4, 4]$ .

Utilizando la sucesión de Sturm y evaluando en  $-4$  y  $4$  tenemos:

$$\begin{aligned} &\{f_0(-4), f_1(-4), f_2(-4), f_3(-4), f_4(-4), f_5(-4)\} \\ &= \{-1989, 2602, -1808, 2041, 858872, -1\} \\ &\{f_0(4), f_1(4), f_2(4), f_3(4), f_4(4), f_5(4)\} \\ &= \{1547, 2122, 1352, 1657, -622496, -1\} \end{aligned}$$

Con lo que hay 4 cambios de signo en la primera lista y solo 1 cambio en la segunda.

El polinomio tiene entonces 3 raíces reales y están en  $[-4, 4]$ .

## Ejemplo (continuación)

Para localizar las raíces en intervalos de amplitud 1 vamos evaluando en diferentes puntos del intervalo:

$$\{f_0(0), f_1(0), f_2(0), f_3(0), f_4(0), f_5(0)\} = \{3, -6, -36, 9, 118188, -1\}$$

Hay 3 cambios de signo por lo que hay una raíz en  $[-4, 0]$  y dos en  $[0, 4]$

$$\{f_0(1), f_1(1), f_2(1), f_3(1), f_4(1), f_5(1)\} = \{-4, -8, 32, 76, -66983, -1\}$$

Hay dos cambios de signo por lo que hay una raíz en  $[0, 1]$  y otra en  $[1, 4]$ .  
Se suele continuar hasta localizar las raíces en intervalos de longitud 1.

## Ejercicio (raíces dobles)

Localizar las raíces de

$$P(x) = 9x^4 - 12x^3 + 13x^2 - 12x + 4$$

# Método de Newton-Raphson para ecuaciones polinómicas

Se puede mejorar la eficiencia del método mediante algoritmos de evaluación para  $P$  y  $P'$ .

Para evaluar  $P(x) = a_k x^k + a_{k-1} x^{k-1} + \dots + a_1 x + a_0$  en el punto  $x = t$  se puede escribir

$$P(x) = (x - t)Q(x) + b_0$$

donde  $Q(x) = b_k x^{k-1} + \dots + b_2 x + b_1$  es el cociente de dividir  $P(x)$  entre  $(x - t)$  y  $b_0$  es el valor de  $P(t)$ .

El método para obtener estos coeficientes, que no es más que la regla de Ruffini, se conoce como **algoritmo de Horner**:

$$b_k = a_k$$

$$b_j = a_j + t \cdot b_{j+1}, \quad j = k-1, \dots, 0$$

# Método de Newton-Raphson para ecuaciones polinómicas

La misma idea se puede aprovechar para el cálculo eficiente de  $P'(t)$ .  
Podemos escribir

$$P'(x) = Q(x) + (x - t)Q'(x).$$

y por tanto  $P'(t) = Q(t)$  con lo que para obtener  $P'(t)$  basta con aplicar el algoritmo de Horner a  $Q(x)$

$$\begin{aligned}c_k &= b_k \\c_j &= b_j + t \cdot c_{j+1}, \quad j = k - 1, \dots, 1.\end{aligned}$$

# Métodos de resolución para sistemas de ecuaciones no lineales

Consideraremos aquí el problema de resolver el sistema de ecuaciones  $F(X) = 0$  donde  $F : D \subseteq \mathbb{R}^k \rightarrow \mathbb{R}^k$  es una función vectorial de las variables reales  $X = (x_1, \dots, x_k)$  y componentes  $f_1, \dots, f_k : D \subseteq \mathbb{R}^k \rightarrow \mathbb{R}$ .

Para mayor facilidad supondremos  $D = \prod_{i=1}^k [a_i, b_i]$ , que es un dominio compacto y convexo de  $\mathbb{R}^k$ .

De forma desarrollada el sistema se escribiría

$$\left. \begin{array}{c} f_1(x_1, \dots, x_k) = 0 \\ \vdots \\ f_k(x_1, \dots, x_k) = 0 \end{array} \right\}.$$

# Métodos de iteración funcional para sistemas

Siguiendo la idea de la iteración funcional de punto fijo, transformaremos el sistema original en otro equivalente en la forma

$$X = G(X),$$

a partir del cual se construirá el método iterativo

$$X_{n+1} = G(X_n)$$

que parte de la semilla  $X_0$ .

De forma desarrollada, el sistema transformado sería

$$\left. \begin{array}{l} x_1 = g_1(x_1, \dots, x_k) \\ \vdots \\ x_k = g_k(x_1, \dots, x_k) \end{array} \right\}.$$

## Ejemplo

Consideremos el sistema

$$\left. \begin{array}{l} x^2 + xy - 10 = 0 \\ 3xy^2 + y - 57 = 0 \end{array} \right\} \text{ en } D = [1, 3] \times [2, 4],$$

que tiene una solución en  $s = (2, 3) \in D$ . Una posible transformación podría ser

$$\left. \begin{array}{l} x = g_1(x, y) = \frac{10}{x+y} \\ y = g_2(x, y) = 57 - 3xy^2 \end{array} \right\}.$$

Partiendo de  $(x_0, y_0) = (2.1, 2.9) \approx s$  se obtienen los resultados de la tabla

$n$	$x_n$	$y_n$
0	2.1	2.9
1	2.00	4.02
2	1.66	-39.82
3	-0.26	-7847.86

por lo que está claro que el método no es adecuado.



# Métodos de iteración funcional para sistemas

## Teorema (Convergencia global)

Sea  $G : D \rightarrow D$  verificando para alguna norma  $\|\cdot\|$  en  $\mathbb{R}^k$

$$\|G(X) - G(Y)\| \leq L\|X - Y\| \quad \forall X, Y \in D \quad \text{con } 0 \leq L < 1.$$

Entonces,

- 1 Existe un único punto fijo  $S = (s_1, \dots, s_k) \in D$  de  $G$ .
- 2 El método  $X_{n+1} = G(X_n)$  converge a  $S$  para todo  $X_0 \in D$ , es decir,  
$$\lim_{n \rightarrow \infty} \|X_n - S\| = 0.$$
- 3 Los errores  $E_n = X_n - S$  cumplen  $\|E_n\| \leq \frac{L^n}{1-L} \|X_1 - X_0\| \quad \forall n \geq 1.$

# Métodos de iteración funcional para sistemas

**Observación:** Si existen todas las derivadas parciales y son continuas en  $D$ , la condición de contractibilidad puede sustituirse por

$$\|G'(X)\| \leq L < 1$$

o también por

$$\left| \frac{\partial g_i(X)}{\partial x_j} \right| \leq \frac{L}{k}, \quad \forall i, j \quad \forall X \in D$$

donde  $G'(X)$  indica la matriz jacobiana:

$$G' = \begin{pmatrix} \frac{\partial g_1}{\partial x_1} & \cdots & \frac{\partial g_1}{\partial x_k} \\ \vdots & \ddots & \vdots \\ \frac{\partial g_k}{\partial x_1} & \cdots & \frac{\partial g_k}{\partial x_k} \end{pmatrix}$$

y  $k$  indica el número de variables.

# Métodos de iteración funcional para sistemas

## Teorema (Convergencia local)

Sea  $I$  un entorno de  $S = G(S)$  y  $G \in \mathcal{C}^1(I)$  tal que  $\|G'(S)\| < 1$  para alguna norma matricial  $\|\cdot\|$ . Entonces existe un subentorno  $I_\varepsilon \subseteq I$  en el que el método  $X_{n+1} = G(X_n)$  converge a  $S$  para todo  $X_0 \in I_\varepsilon$ .

## Observaciones:

- Se puede sustituir la condición  $\|G'(S)\| < 1$  por  $\rho(G'(S)) < 1$  (radio espectral).
- Se puede sustituir la condición  $\|G'(S)\| < 1$  por  $\left| \frac{\partial g_i(S)}{\partial x_j} \right| \leq \frac{1}{k} \quad \forall i, j$ .

# El método de Newton-Raphson para sistemas

Para resolver el sistema  $F(X) = 0$  el método de Newton-Raphson consiste en

$$X_{n+1} = X_n - J_n^{-1}F(X_n), \quad n = 0, 1, \dots,$$

donde  $J_n$  es la matriz jacobiana

$$J = \begin{pmatrix} \frac{\partial f_1}{\partial x_1} & \cdots & \frac{\partial f_1}{\partial x_k} \\ \vdots & \ddots & \vdots \\ \frac{\partial f_k}{\partial x_1} & \cdots & \frac{\partial f_k}{\partial x_k} \end{pmatrix}$$

evaluada en la aproximación  $X_n$ .

El método estará bien definido si  $J_n$  admite inversa, es decir, si  $\det(J_n) \neq 0 \forall n$ .

# El método de Newton-Raphson para sistemas

En la práctica no hay que invertir el jacobiano en cada paso, sino resolver un sistema de ecuaciones lineales. La deducción es la siguiente:

$$\begin{aligned}X_{n+1} &= X_n - J_n^{-1}F(X_n); \\X_{n+1} - X_n &= -J_n^{-1}F(X_n); \\ \Delta X_n &= -J_n^{-1}F(X_n) \quad \text{siendo} \quad \Delta X_n = X_{n+1} - X_n; \\J_n \Delta X_n &= -F(X_n)\end{aligned}$$

luego  $\Delta X_n$  es la solución del sistema de ecuaciones lineales cuya matriz de coeficientes es  $J_n$  y cuyo vector de términos independientes es  $-F(X_n)$ . Una vez resuelto, se tomará  $X_{n+1} = X_n + \Delta X_n$ .

# El método de Newton-Raphson para sistemas

## Ejemplo

En el caso del ejemplo anterior:

$$\left. \begin{array}{l} x^2 + xy - 10 = 0 \\ 3xy^2 + y - 57 = 0 \end{array} \right\} \text{ en } D = [1, 3] \times [2, 4],$$

la matriz jacobiana asociada es

$$J = \begin{pmatrix} 2x + y & x \\ 3y^2 & 6xy + 1 \end{pmatrix}$$

que ha de ser invertible en cada aproximación calculada.

Esto es cierto en la región  $D$  considerada, ya que

$$\det(J) = 12x^2y + 3xy^2 + 2x + y > 0 \text{ en } D.$$

# El método de Newton-Raphson para sistemas

## Ejemplo (continuación)

El método de Newton-Raphson quedaría:

$$X_0 = \begin{pmatrix} x_0 \\ y_0 \end{pmatrix} = \begin{pmatrix} 1.5 \\ 3.5 \end{pmatrix} \text{ (semilla no muy próxima a la solución } s)$$

$$X_{n+1} = \begin{pmatrix} x_{n+1} \\ y_{n+1} \end{pmatrix} = \begin{pmatrix} x_n \\ y_n \end{pmatrix} - \begin{pmatrix} 2x_n + y_n & x_n \\ 3y_n^2 & 6x_n y_n + 1 \end{pmatrix}^{-1} \begin{pmatrix} x_n^2 + x_n y_n - 10 \\ 3x_n y_n^2 + y_n - 57 \end{pmatrix}$$

$n = 0, 1, 2, \dots$

Los resultados numéricos con tolerancia  $10^{-6}$  se muestran en el cuadro

$n$	$x_n$	$y_n$	$\ x_{n+1} - x_n\ _\infty$
0	1.50000000	3.50000000	
1	2.03602882	2.84387510	6.56e-01
2	1.99870061	3.00228856	1.58e-01
3	1.99999998	2.99999941	2.29e-03
4	2.00000000	3.00000000	5.87e-07

# El método de Newton-Raphson para sistemas

## Teorema

Sea el sistema de ecuaciones  $F(X) = 0$  con  $F \in \mathcal{C}^2(I)$  siendo  $I$  un entorno de una solución  $S$  con  $\det(J(F)|_{X=S}) \neq 0$ . Entonces existe un entorno  $I_\varepsilon \subseteq I$  para el cual la sucesión generada por el método de Newton Raphson converge a la solución con orden de convergencia, al menos, cuadrático  $\forall X_0 \in I_\varepsilon$ .